

УДК 539.374

© 1991 г.

С. А. АМБАРЦУМЯН, М. М. МИНАСЯН

ОБ ОДНОЙ НЕЛИНЕЙНОЙ МОДЕЛИ ВЯЗКОУПРУГОГО ТЕЛА

Для широкого класса твердых деформируемых тел влияние скорости деформации на их механические характеристики и динамическое поведение является весьма существенным. Это явление исследовано во многих экспериментальных и теоретических работах, однако проблема далека от завершения. В публикуемой работе рассматривается построение еще одной модели сплошного деформируемого тела, механические характеристики которого зависят от скорости деформации. Выделяются некоторые особенности модели, исследуется задача о распространении продольных волн в стержнях.

1. Тщательный анализ известных экспериментальных данных об одноосном испытании ряда полимерных материалов [1–4], а также кости [5] позволяет для процесса нагружения указать следующие особенности поведения этих материалов.

а) При нагружении с различными постоянными скоростями деформации диаграммы напряжение — деформации представляют семейство линий, аффинно-подобных диаграмме квазистатического испытания.

б) Начальный касательный модуль на диаграммах не зависит от начальной скорости деформации и начальные участки диаграмм веерообразно расходятся от статической диаграммы.

в) Расхождение диаграмм довольно заметно уже при малых скоростях деформации (порядка 10^{-3} с^{-1}) и имеет тенденцию к сгущению при больших скоростях (порядка 10^3 с^{-1}).

г) При испытании с переменной скоростью с замедлением процесса нагружения начиная с некоторого значения деформации напряжение падает, хотя деформация и продолжает расти.

При снятии напряжений из состояний, деформации в которых не превышают упругие деформации квазистатического испытания, остаточные деформации либо отсутствуют, либо столь малы, что ими можно пренебречь. Это обстоятельство позволяет вышеуказанные особенности поведения материалов отнести к их вязкоупругим свойствам. Все известные авторам модели вязкоупругого тела (Фойхт, Максвелл, Больцман, другие реологические связи σ — ϵ) не обладают всеми названными свойствами одновременно.

В настоящей работе обсуждается новая модель, которая в общей форме для процесса нагружения имеет вид

$$\sigma = \sigma_c(\dot{\epsilon}) [1 + \psi((\dot{\epsilon}/\alpha)^n)] \quad (1.1)$$

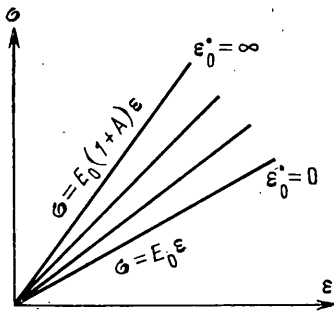
где σ — напряжение, ϵ — деформация, $\dot{\epsilon}$ — скорость деформации, $\sigma_c(\dot{\epsilon})$ — напряжение при квазистатическом испытании, α , n — постоянные.

Функция ψ — монотонно возрастающая функция скорости деформации, причем $\psi(0) = 0$, $\psi(\infty) = A = \text{const}$. Считается, что $0 < n < 1$.

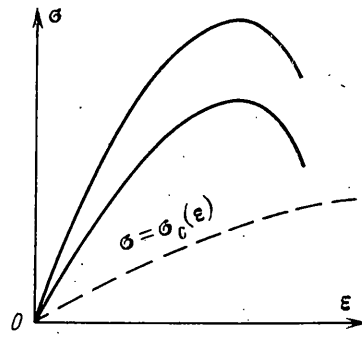
Свойства а), б) очевидны.

Начальный касательный модуль в зависимости от начальной скорости деформации $\dot{\epsilon}_0$ будет

$$E_n = E_0 [1 + \psi((\dot{\epsilon}_0/\alpha)^n)], \quad E_0 = d\sigma_c(0)/d\dot{\epsilon} \quad (1.2)$$



Фиг. 1



Фиг. 2

На фиг. 1 показаны начальные участки диаграмм. (Очевидно, что при $\sigma_c(\varepsilon) = E_0\varepsilon$ и $\varepsilon = \text{const}$ так же будут выглядеть и полные диаграммы $\sigma - \varepsilon$.) Выбранная оценка для показателя n обеспечивает чувствительность диаграмм к малым значениям ε .

Свойство γ также очевидно. Действительно, рассматривая на пути деформирования $\varepsilon = \varepsilon(t)$ функции ε^* и $\varepsilon^{\prime\prime}$ как функции от ε , для касательного модуля получаем выражение

$$\frac{d\sigma}{d\varepsilon} = \frac{d\sigma_c(\varepsilon)}{d\varepsilon} [1 + \psi] + \sigma_c(\varepsilon) \psi' n \left(\frac{\varepsilon^*}{\alpha} \right)^{n-1} \frac{\varepsilon^{\prime\prime}}{\varepsilon}. \quad (1.3)$$

При замедлении процесса нагружения ($\varepsilon > 0$, $\varepsilon^{\prime\prime} < 0$), слагаемые в правой части (1.3) имеют разные знаки и при некотором значении деформации $d\sigma/d\varepsilon = 0$, а при дальнейшем замедлении, касательный модуль становится отрицательным. Диаграммы в случае переменных скоростей деформации схематично показаны на фиг. 2.

Процессы нагружения ($\varepsilon = 0$) кончаются на линии квазистатической диаграммы $\sigma = \sigma_c(\varepsilon)$. Таким образом все диаграммы нагрузки заполняют область двумя предельными диаграммами, «сверхскоростной» — $\sigma = \sigma_c(\varepsilon) \times (1+A)$, и «сверхмедленной» — $\sigma = \sigma_c(\varepsilon)$. Хотя эта картина подобна случаю линейной модели вязкоупругого тела с «длительным» и «мгновенным» модулями, однако существенная разница заключается в том, что в случае имеется единственный модуль, а именно «мгновенный», при любом ненулевом значении начальной скорости деформации ε_0 , а следовательно и отсутствует начальное веерообразное расхождение диаграмм.

Уравнение (1.1) предписывает материалу свойство запаздывания деформации (последствие). Рассмотрим особенности этого явления. Пусть внезапно приложено постоянное напряжение σ_0 . Тогда для определения закона деформации $\varepsilon = \varepsilon(t)$ надо интегрировать уравнение

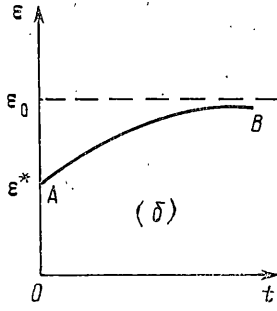
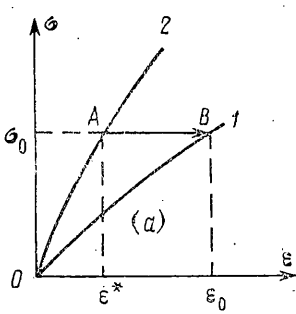
$$\frac{1}{\alpha} \frac{d\varepsilon}{dt} = \left[f \left(\frac{\sigma_0 - \sigma_c(\varepsilon)}{\sigma_c(\varepsilon)} \right) \right]^{1/n} \quad (1.4)$$

где функция f — обратная функция ψ и определена на промежутке $[0; A]$. Поскольку $\sigma_c(0) = 0$, то начальное значение ε при $t = 0$ не может быть нулевым и должно определяться из условия

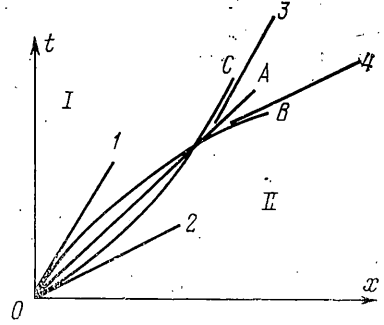
$$\sigma_c(\varepsilon) = \sigma_0(1+A)^{-1} \quad (1.5)$$

Если обозначить решение (1.5) через ε^* , то из (1.4) получим

$$\alpha t = \int_{\varepsilon^*}^{\varepsilon} \left[f \left(\frac{\sigma_0 - \sigma_c(\varepsilon)}{\sigma_c(\varepsilon)} \right) \right]^{-1/n} d\varepsilon \quad (1.6)$$



Фиг. 3



Фиг. 4

Конечное значение деформации определяется условием $\sigma_c(\varepsilon) = \sigma_0$. Пусть при этом $\varepsilon = \varepsilon_0$. Интеграл (1.6) при $\varepsilon = \varepsilon_0$ в верхнем пределе несобственный. Для выделения главной его части допустим, что функция $\psi(x)$ в окрестности нуля имеет представление kx . Тогда обратная ей функция $f(x)$ представится в виде $k^{-1}x$ и главное значение (1.6) определится интегралом

$$\frac{1}{k} \int_{\varepsilon^*}^{\varepsilon_0} \left(\frac{\sigma_0 - \sigma_c(\varepsilon)}{\sigma_c(\varepsilon)} \right)^{-1/n} d\varepsilon \quad (1.7)$$

При $n \leq 1$ этот интеграл расходится, а при $n > 1$ сходится. В нашем случае $n < 1$, и следовательно конечное значение ε_0 достигается за бесконечное время (как это имеет место при всех моделях вязкоупругого тела).

На фиг. 3 показаны особенности последствия. Линия 1 соответствует функции $\sigma = \sigma_c(\varepsilon)$, линия 2 — $\sigma = \sigma_c(\varepsilon)(1+A)$. Деформация мгновенно принимает значение ε^* , затем асимптотически стремится к значению ε_0 (линия 3). Мгновенный скачок деформации физически объясняется тем, что при внезапном приложении напряжения начальная скорость деформации становится бесконечной и материал ведет себя как упругое тело с уравнением $\sigma = \sigma_c(\varepsilon)(1+A)$, деформация мгновенно принимает то значение, которое соответствует напряжению σ_0 . Затем, по мере уменьшения скорости деформации включается механизм вязкоупругости.

Как было отмечено выше, уравнение (1.1) написано для процесса нагружения. Отсутствие экспериментальных данных о разгрузке не позволяет с достаточным основанием выбрать модель для этого процесса. Тем не менее, имея в виду те материалы, в которых отсутствуют остаточные деформации после снятия напряжения для неударных разгрузок (т. е. когда нагружение завершается непрерывно до нулевого значения скорости деформации) можно предположить, что разгрузка идет по квазистатической линии $\sigma = \sigma_c(\varepsilon)$.

Предполагается также, что процессы нагружки и разгрузки одинаковы при растяжении и сжатии и при пользовании уравнением (1.1) следует ввести соответствующие изменения для знаков ε и $\dot{\varepsilon}$. На основании вышеизложенного можно вычислить количество энергии, которая выделяется за один цикл периодического деформирования.

В частности при $\sigma_c = E_0 \varepsilon$ и законе деформирования $\varepsilon = \varepsilon_0 \sin \omega t$ за один период выделяется энергия

$$\Delta W = E_0 \varepsilon_0^2 F(\varepsilon_0 \omega \alpha^{-1}), \quad F(\xi) = \int_0^1 \psi(\xi^n \eta^{n/2}) d\eta \quad (1.8)$$

Если α^{-1} можно считать характерным временем запаздывания деформации, то величину $\omega\alpha^{-1}$ — параметром рассеяния энергии при циклическом нагружении. Отметим, что при $\omega\alpha^{-1} \rightarrow 0$, $\Delta W \rightarrow 0$.

Теперь конкретно о функции ψ и ее зависимости от скорости деформации. В работе [6] предложена и в [7] рассмотрена зависимость

$$\psi = (\varepsilon/\alpha)^n \quad (1.9)$$

Проведено сравнение с известными экспериментальными данными для кости [5], винипласта [2] и политена [4]. Показано, что для кости $\alpha = 220 \text{ с}^{-1}$, $n = 0,25$, для винипласта $\alpha = 50 \text{ с}^{-1}$, $n = 0,25$, для политена $\alpha = 1100 \text{ с}^{-1}$, $n = 1$. Для кости и винипласта испытания проведены с постоянными скоростями деформации, а для политена — с переменными. Сравнение показало хорошее совпадение экспериментальных и теоретических кривых. Особенно впечатляет совпадение 26 точек для политена, диаграммы σ — ε которого для трех испытаний имеют виды, показанные на фиг. 2. Поскольку эти представления для функции ψ не полностью соответствуют общему описанию этой функции в уравнении (1.1), то этот вопрос требует пояснений. Испытания для винипласта проведены с малыми скоростями от порядка 10^{-3} с^{-1} до 70 с^{-1} и выбор функции ψ для винипласта следует рассмотреть как первый член разложения функции $\psi((\varepsilon/\alpha)^n)$. Испытания для кости проведены со скоростями от 10^{-3} с^{-1} до 1500 с^{-1} . Здесь также выбор степенной зависимости от ε правильно воспроизводит данные эксперимента, при малых скоростях следует учитывать следующие члены разложения. В частности для той же кости разложение $\psi = (\varepsilon/40)^{0,28} - 0,402(\varepsilon/40)^{0,56} + 0,095(\varepsilon/40)^{0,84}$ дает лучшее совпадение для всей зоны изменения ε от 10^{-3} с^{-1} до 1500 с^{-1} . Что же касается политена, то здесь испытания проведены для скоростей от $3 \cdot 10^3 \text{ с}^{-1}$ до $9 \cdot 10^3 \text{ с}^{-1}$, поэтому линейную зависимость функции ψ от ε следует рассматривать как аппроксимацию к действительной функции $\psi((\varepsilon/\alpha)^n)$, которая может быть представлена в виде разложения по степеням ε/α . И действительно, разложение $\psi = (\varepsilon/300)^{0,3} - 1,054(\varepsilon/300)^{0,6} + 0,6275(\varepsilon/300)^{0,9}$ практически не отличается от линейной зависимости $\varepsilon/1100$ на промежутке $[3 \cdot 10^3; 10^4 \text{ с}^{-1}]$ изменения ε . Результат этот не является неожиданным, поскольку речь идет о совпадении парабол $y = \frac{3}{11}x^{3/2}$, $y = x - 1,054x^2 + 0,6275x^3$ на малом промежутке [2; 3] для x .

Из вышеизложенного можно заключить, что в отсутствие единого представления функции ψ во всем диапазоне изменения ε в каждой конкретной задаче можно использовать то или другое, в зависимости от предполагаемого промежутка ε , приближение. Так например, при малых скоростях, в особенности в задачах о колебаниях, можно пользоваться степенной функцией $\psi = (\varepsilon/\alpha)^n$, при умеренных и больших скоростях с диапазоном изменения ε , не превышающим один порядок, использовать линейную аппроксимацию.

2. Рассмотрим задачу о распространении возмущений в полубесконечном стержне $x \geq 0$, конец $x = 0$ которого движется по заданному закону. В простой постановке задача сводится к интегрированию системы

$$\rho \partial v / \partial t = \partial \sigma / \partial x \quad (2.1)$$

$$\partial \varepsilon / \partial t = \partial v / \partial x \quad (2.2)$$

$$\sigma = \sigma_c(\varepsilon) [1 + \psi((\alpha^{-1} \partial v / \partial x)^n)] \quad (2.3)$$

с нулевыми начальными условиями и с граничным условием $u(0, t) = f(t)$. В системе ρ — плотность, v — скорость и u — продольное перемещение частиц. В дальнейшем примем $\sigma_c(\varepsilon) = E_0 \varepsilon$. Тогда для функции перемещения

$u(t, x)$ имеем задачу

$$\begin{aligned} \frac{\partial^2 u}{\partial t^2} - a_0^2 \frac{\partial}{\partial x} \left\{ \frac{\partial u}{\partial x} \left[1 + \psi \left(\left(\frac{1}{\alpha} \frac{\partial^2 u}{\partial x \partial t} \right)^n \right) \right] \right\} &= 0 \\ u(0, t) &= f(t) \quad (a_0^2 = E_0/\rho) \\ u(x, 0) &= 0, \quad \partial u(x, 0)/\partial t = 0 \end{aligned} \quad (2.4)$$

Задача (2.4) решается только численными или приближенными методами. В любом случае следующий вопрос является принципиальным и важным при применении того или другого метода: носит ли распространение возмущения волновой характер с передним фронтом, или нет? И если да, то какие можно указать общие характеристики распространения фронтов.

Для выяснения этого вопроса обратимся к модели (1.6) и функции $f(t) = -ct^k$ ($k \geq 1$). Как будет показано ниже, этот случай поддается асимптотическому анализу, а в некоторых частных случаях (для значений n и k) позволяет построить решение как численно, так и аналитически.

Согласно основной теореме теории размерностей решение задачи в безразмерных комбинациях имеет вид

$$\Pi = \Pi(\Pi_1, \Pi_2, n, k) \quad (2.5)$$

$$\Pi = uc^{-1}t^{-k} \quad (2.6)$$

$$\Pi_1 = x \left[(a_0^{2(k-1)/n} \alpha^{1-k} c)^{n/(2k+n-2)} t \right]^{-1} \quad (2.7)$$

$$\Pi_2 = x \left[(a_0^{2/n} \alpha^{-1} c)^{n/(n+2)} t^{(nk+2-n)/(n+2)} \right]^{-1} \quad (2.8)$$

Очевидно, что задача в общем не автомодельна. Теперь применим метод асимптотического моделирования. Если считать, что функция Π в (2.5) не зависит от Π_2 и искать решение в виде

$$u(t, x) = ct^k F(\xi), \quad \xi = xa_0^{-1}t^{-1} \quad (2.9)$$

то получим уравнение

$$\begin{aligned} (k-1)(kF - \xi F') - \xi(kF - \xi F')' &= F'' + \\ + (c\alpha^{-1}a_0^{-1})^n t^{n(k-2)} \{F' [(k-1)F' - \xi F'']^n\}' \end{aligned} \quad (2.10)$$

Если же считать, что функция Π не зависит от Π_1 и искать решение в виде

$$u(t, x) = ct^k \Psi(\lambda), \quad \lambda = xm^{-1}t^{-s} \quad s = (nk+2-n)/(n+2) < 1. \quad (2.11)$$

то получим уравнение

$$\begin{aligned} (k-1)(k\Psi - s\lambda\Psi') - s\lambda(k\Psi - s\lambda\Psi')' &= \\ = a_0^2 m^{-2} \Psi'' t^{2n(2-k)/(n+2)} + \{(k\Psi - s\lambda\Psi')^n \Psi'\}' \end{aligned} \quad (2.12)$$

а) Пусть $1 \leq k < 2$. Тогда при малых значениях времени в уравнении (2.12) можно пренебречь членом, содержащим $t^{2n(2-k)/(n+2)}$, а при больших значениях t — в уравнении (2.10) членом, содержащим $t^{n(k-2)}$. Механический смысл этих асимптотик заключается в том, что в начальные моменты «динамические» напряжения $E_0 \varepsilon$ ($\varepsilon \alpha^{-1}$)ⁿ намного больше «статических» $E_0 \varepsilon$, а для больших моментов времени — наоборот.

Таким образом, при малых t функция $\Psi(\lambda)$ удовлетворяет уравнению

$$(k-1)(k\Psi - s\lambda\Psi') - s\lambda(k\Psi - s\lambda\Psi')' = \{(k\Psi - s\lambda\Psi')^n \Psi'\}' \quad (2.13)$$

При больших значениях t функция $F(\xi)$ удовлетворяет уравнению

$$(k-1)(kF - \xi F') - \xi(kF - \xi F')' = F'' \quad (2.14)$$

Для этих функций имеем граничные условия

$$\begin{aligned} \Psi(0) &= -1, \quad \Psi(\infty) = 0, \quad \Psi'(\infty) = 0 \\ F(0) &= -1, \quad F(\infty) = 0, \quad F'(\infty) = 0 \end{aligned} \quad (2.15)$$

Анализ уравнения (2.13) показывает, что оно имеет ненулевое решение при граничных условиях из (2.15) только на конечном интервале $0 \leq \lambda \leq \lambda_0$, при этом граничные условия из бесконечности переносятся в точку $\lambda = \lambda_0$, а при $\lambda > \lambda_0$ $\Psi = 0$. Это означает, что возмущение имеет передний фронт, закон движения которого определяется значением

$$x_{\Phi}(t) = m\lambda_0 t^s \quad (2.16)$$

В работе [7] исследовано уравнение (2.13) при $k=1$, $n=1$. В этом случае оно интегрируется один раз и сводится к уравнению

$$\Psi' \Psi'' + \frac{2}{3} \lambda \Psi' - \Psi = 0 \quad (2.17)$$

для которого имеются следующие граничные условия

$$\Psi(0) = -1, \quad \Psi(\lambda_0) = 0, \quad \Psi'(\lambda_0) = 0 \quad (2.18)$$

Задача решена численно методом «пристрелки». Пристреливается условие $\Psi'(0)$ для задачи Коши таким образом, чтобы в некоторой точке $\lambda = \lambda_0$ соблюдались граничные нулевые условия. Далее приведены численные результаты.

λ	0	0,2	0,4	0,6	0,8	1,0	1,2	1,4	1,42
$-\Psi$	1	0,753	0,539	0,359	0,214	0,105	0,034	0,001	0
Ψ'	1,313	1,152	0,985	0,813	0,635	0,452	0,262	0,068	0

Из таблицы видно, что $\lambda_0 = 1,42$ и фронт волны согласно (2.16) движется в этом случае по закону

$$x_{\Phi}(t) = 1,42 (a_0^2 c / \alpha)^{1/2} t^{3/2} \quad (2.19)$$

Поскольку из уравнения (2.13) с учетом условий в точке λ_0 следует

$$\Psi''(\lambda_0) = -(s\lambda_0)^{(2-n)/n} \quad (2.20)$$

в то время как $\Psi(\lambda_0) = \Psi'(\lambda_0) = 0$, то на фронте волны скорость частиц v , деформация ε и напряжение σ равны нулю, а скорость деформации $\dot{\varepsilon}$, ускорение частиц, градиенты деформации и напряжения, связанные с величиной $\Psi''(\lambda_0)$ отличны от нуля. Это означает, что возмущение распространяется в виде волны ускорения.

Отметим одно точное решение уравнения (2.13). При $k=1$, $n=4$ (хотя выше приняли, что для исследованных материалов $n < 1$, тем не менее этот случай представляет теоретический интерес для рассматриваемого здесь вопроса). Функция

$$\Psi(\lambda) = -\frac{1}{2} (\lambda/\lambda_0)^3 + \frac{3}{2} (\lambda/\lambda_0) - 1 \quad (2.21)$$

где $\lambda_0 = \sqrt[3]{3} \approx 1,44$, удовлетворяет уравнению (2.13) и условиям (2.15). Обращает внимание близость λ_0 в рассмотренных двух случаях.

Уравнение (2.14), которое соответствует обычному волновому уравнению, имеет решение

$$\begin{aligned} \dot{F}(\xi) &= -(1-\xi)^k, \quad \xi \leq 1 \\ F(\xi) &= 0, \quad \xi > 1 \end{aligned} \quad (2.22)$$

при этом значение $\xi_0=1$ определяет фронт волны, который движется по закону

$$x_\phi(t) = a_0 t \quad (2.23)$$

Здесь также скорость частиц, деформация и напряжение равны нулю на фронте, т. е. непрерывны, в то время как их производные по t , x терпят разрывы.

Проведенный анализ выясняет следующую картину распространения возмущений. Если ее отнести к задаче (2.4), то в начальный момент фронт волны движется с предельной скоростью $a_0(1+A)^{1/2}$, затем, замедляясь, асимптотически становится фронтом обычной упругой волны, имеющей скорость a_0 .

б) Пусть теперь $k > 2$. В этом случае имеем противоположную картину: при малых значениях t действует уравнение (2.14), а при больших значениях t — уравнение (2.13). Применительно к задаче (2.4) получается следующая картина: фронт волны, начав движение со скоростью a_0 , затем, убыстряясь, асимптотически достигает скорости $a_0(1+A)^{1/2}$.

в) Наконец, допустим $k=2$. Нетрудно видеть, что $\Pi_1 = \Pi_2$ и оба члена в уравнениях (2.10) и (2.12), содержащие t , исчезают, а сами эти уравнения совпадают. Это означает, что движение автомодельно при всех t .

Задача (2.4) в этом случае имеет следующее точное решение

$$u(t, x) = -ct^2(1 - x\lambda_0^{-1}a_0^{-1}t^{-1})^2, \quad x \leq a_0\lambda_0 t$$

$$u(t, x) = 0, \quad x > a_0\lambda_0 t \quad (2.24)$$

где $\lambda = x(a_0 t)^{-1}$ — единственная автомодельная координата, а λ_0 определяется из соотношения

$$\lambda_0^2 = 1 + \psi((2c/(ca_0\lambda_0))^n) \quad (2.25)$$

Фронт волны движется по закону

$$x_\phi(t) = \lambda_0 a_0 t \quad (2.26)$$

а его скорость D постоянна и удовлетворяет неравенству

$$a_0 < D < a_0(1+A)^{1/2} \quad (2.27)$$

Картина фронтов волн представлена фиг. 4.

Кривая OB представляет движение фронта волны при $1 \leq k < 2$. Она имеет начальную касательную 1 с уравнением $x = a_0(1+A)^{1/2}t$ и асимптотику 4 с уравнением $x = a_0 t + \text{const}$. Кривая OC соответствует случаю $k > 2$. Здесь, наоборот, начальная касательная 2 имеет уравнение $x = a_0 t$, а асимптотика 3 — $x = a_0(1+A)^{1/2}t + \text{const}$.

Прямая OA с уравнением $x = \lambda_0 a_0 t$, представляет фронт волны при $k=2$.

В заключение еще раз отметим, что во всех случаях на фронте волны непрерывны скорость v , деформация ε и напряжение σ , а их производные терпят разрывы. В частности скорость деформации на фронте принимает значение

$$\varepsilon_\phi = \alpha [\psi^{-1}(D^2/a_0^2 - 1)]^{1/n}$$

где D — скорость фронта волны.

Вышеизложенные соображения, естественно, помогут при постановке и решении более общих задач о распространении волн в стержнях.

Отметим, что в настоящей работе анализированы только волны нагружения. Волны же разгрузки требуют отдельного исследования.

СПИСОК ЛИТЕРАТУРЫ

1. *Огибалов П. М., Малинин Н. И., Нетребко В. П., Кишкин Б. П.* Конструкционные полимеры. М.: Изд-во МГУ, 1972. Т. 1. 322 с.; Т. 2. 306 с.
2. *Викторов В. В., Добровольский И. П., Шапиро Г. С.* Исследование динамических свойств некоторых полимерных материалов при нагружении и разгрузке // *Механика полимеров*. 1967. № 1. С. 118-122.
3. *Кокшвили С. М., Тамуж В. П., Шапиро Г. С.* Динамическое нагружение полимерных материалов // *Механика полимеров*. 1970. № 2. С. 326-338.
4. *Кольский Г.* Исследование механических свойств материалов при больших скоростях нагружения // *Механика*. Сб. сокращ. пер. и реф. иностр. период. лит. 1950. № 4. С. 108-128.
5. *Herrmann G., Liebowitz H.* Mechanics of bone fracture // *Fracture*. N. Y.; L.: Acad. Press. 1972. V. 7. P. 772-836.
6. *Амбарцумян С. А.* Некоторые вопросы теории оболочек из композиционных материалов // *Успехи механики*. 1983. Т. 6. № 314. С. 69-77.
7. *Ambartsumian S. A., Minassian M. M.* On the model of bodies with their mechanical properties depending on the strain rate // *Intern. J. Non-Linear Mech.* 1986. V. 21. № 1. P. 27-36.

Ереван

Поступила в редакцию
25.VI.1990